Zeitschrift: Schweizerische mineralogische und petrographische Mitteilungen =

Bulletin suisse de minéralogie et pétrographie

Band: 14 (1934)

Heft: 2

Artikel: Röntgenographische Charakteristik der verschiedenen Modifikationen

des Dicalciumsilikats, Ca2SiO4

Autor: Brandenberger, E.

DOI: https://doi.org/10.5169/seals-14650

Nutzungsbedingungen

Die ETH-Bibliothek ist die Anbieterin der digitalisierten Zeitschriften auf E-Periodica. Sie besitzt keine Urheberrechte an den Zeitschriften und ist nicht verantwortlich für deren Inhalte. Die Rechte liegen in der Regel bei den Herausgebern beziehungsweise den externen Rechteinhabern. Das Veröffentlichen von Bildern in Print- und Online-Publikationen sowie auf Social Media-Kanälen oder Webseiten ist nur mit vorheriger Genehmigung der Rechteinhaber erlaubt. Mehr erfahren

Conditions d'utilisation

L'ETH Library est le fournisseur des revues numérisées. Elle ne détient aucun droit d'auteur sur les revues et n'est pas responsable de leur contenu. En règle générale, les droits sont détenus par les éditeurs ou les détenteurs de droits externes. La reproduction d'images dans des publications imprimées ou en ligne ainsi que sur des canaux de médias sociaux ou des sites web n'est autorisée qu'avec l'accord préalable des détenteurs des droits. En savoir plus

Terms of use

The ETH Library is the provider of the digitised journals. It does not own any copyrights to the journals and is not responsible for their content. The rights usually lie with the publishers or the external rights holders. Publishing images in print and online publications, as well as on social media channels or websites, is only permitted with the prior consent of the rights holders. Find out more

Download PDF: 22.07.2025

ETH-Bibliothek Zürich, E-Periodica, https://www.e-periodica.ch

Röntgenographische Charakteristik der verschiedenen Modifikationen des Dicalciumsilikats, Ca₂SiO₄

Von E. Brandenberger in Zürich

Nachdem neuerdings N. Sundius 1) die verschiedenen Modifikationen des Dicalciumsilikats, Ca₂SiO₄, optisch charakterisiert hat, erschien es wünschenswert, gleichfalls eine röntgenographische Kennzeichnung der einzelnen Modifikationen vorzunehmen. Einmal sollte damit die Frage beantwortet werden, ob auch im kristallstrukturellen Sinne die von Sundius an Hand der Optik vorgenommene Phasenunterscheidung besteht. Ferner schien es wesentlich, für alle Ca₂SiO₁-Modifikationen ihre Röntgeninterferenzen aufzunehmen, wie dies für ihren Nachweis als Komponenten in Zementen erforderlich ist. Ich verdanke Herrn Dr. N. Sundius die Überlassung einer Probe der α -Modifikation und einer solchen der β -Form zum Zwecke der röntgenographischen Untersuchung. Für seine liebenswürdige Mithilfe bei deren Durchführung in dieser Form, sowie für seine in entgegenkommender Weise vorgenommene optische Nachprüfung spreche ich auch an dieser Stelle Herrn Dr. Sundius meinen herzlichsten Dank aus.

Präparat I von N. Sundius (α -Ca₂SiO₄): Hergestellt aus einer Schmelze 91 % Ca₂SiO₄, 7 % 5 CaO · 3 Al₂O₃ und 2 % Cr₂O₃. Erhitzt auf 1650—1670 %, abgeschreckt in Luft und kurz in Wasser. β -Ca₂SiO₄ nur sporadisch vorhanden. Nach vorgenommener Pulverisierung und Herstellung der Röntgenaufnahme wurde das Material erneut von Herrn Dr. Sundius optisch geprüft, wobei nach wie vor α -Ca₂SiO₄ nachweisbar und eine wesentliche Veränderung des Materials durch das Pulverisieren nicht zu erkennen war.

Präparat II von N. Sundius (β -Ca₂SiO₄): Gesinterte Schmelze der Zusammensetzung 32 % SiO₂, 68 % CaO (Verunreinigungen von Al₂O₃ und Fe₂O₃ etwa 0,2 %). Herstellungstemperatur 1450 %. Nur gering in γ -Ca₂SiO₄ umgewandelt, α -Ca₂SiO₄ nicht vorhanden, ebenso (nach White geprüft) kein freies CaO. Der poröse Charakter der Probe machte ein nur sehr geringfügiges Zerstossen derselben zur Herstellung des Präparates notwendig, so dass eine Umwandlung nicht in wesentlichem Umfang eintreten konnte.

Präparat III von G. Berger (EMPA) (γ -Ca₂SiO₄): 95 % β -Dicalcium-silikat + 5 % Dicalciumferrit auf ca. 1450 erhitzt. Vorherrschend γ -Ca₂SiO₄.

¹⁾ N. Sundius, Z. anorg. Chem. 213, 343. 1933.

Tabelle

Röntgeninterferenzen der Ca₂SiO₄-Modifikationen

Cu- K_{α} -Strahlung; Kameraradius 57,5 mm; 40 KV, 12 mA, $2\frac{1}{2}$ Stunden. Unter Aluminiumfolie, geeicht mit Steinsalz.

 $\vartheta =$ Beugungswinkel, I = geschätzte Intensität, R = Netzebenenperiode in A. st st = sehr stark, st = stark, mst = mittel-stark, m = mittel, ms = schwach-mittel, s = schwach, ss = sehr schwach. b = breite Linie.

Einige schwache verwaschene Linien sind in der Tabelle weggelassen, aber in Figur 1 eingetragen.

α –	Ca ₂ Si	D_4	$_{l}^{3}$ – Ca ₂ SiO ₄				γ – Ca ₂ SiO ₄			
${\boldsymbol{\vartheta}}$	I	R	$\boldsymbol{\vartheta}$	I	R		$\boldsymbol{\vartheta}$	I	R	
							11°48′	m	3,76	
			14° 30′	m	3,07		. = 0.001			
15051/		0.01	160001	. 4 . 4	0.70		15000′	st	2,97	
15051'	stst	2,81	16°00'	stst	2,78		15°42′ 16°27′	m st	2,84	
17º06'	mst	2,61	17003'	mst	2,62		(17009'	m	2,71 2,62	
11 00	11131	2,01	11 03	mst	2,02		17054	m	2,50	
18° 30'	mbs	2,42	18° 30'	bs	2,42		18024	m	2,435	
19045'	mb	2,27	19°30'	bs	2,30		19°30′	ms	2,30	
20°36'	st	2,18 ₅	20°36′	st	2,185		200 48'	ms	2,165	
22°21′	m	2,02	22012	ms	2,03		22°18′	S	2,02 5	
22°57′	m	1,971	22054	m	1,975				_,0_8	
23°33′	SS	1,924		***	1,513					
23°54′	m	1,897	23°54′	bms	1,897		23°51′	st	1,901	
25 54	111	1,097	25 54	UIIIS	1,091		24018'	ms	1,865	
25° 18′	223	1,799	25° 15′	bs	1,802		25°15′	mst		
25°54′	m		25°54′				26°06′		1,802	
26°51′	ms	1,760	26°57′	mst	1,760		20,00	111	1,747	
20°51	bms	1,702	20°51	mb	1,696		070.004	1200	1 604	
000061		1.000	00000	_1	1 (00		27009	m ,	1,684	
28°06′	m	1,632	28°09′	st	1,629		28°12′	mst	1,627	
28°36′	ms	1,606	28°39′	S	1,608					
29°03′	m	1,583								
		9 9 2	29°15′	SS	1,573					
29° 45′	ms	1,548	29°54′	S	1,542					
30°18′	S	1,524	30°24′	S	1,519		30°15′	S	1,525	
							30°30′	m	1,514	
							31°00′	m	1,492	
31°18′	m	1,480	31°15′	mst	1,482					
		•			•		31042'	m	1,463	
							32018	ms	1,4385	
32°48'	bs	1,419	32°51′	S	1,417				, ,	
		•					33012'	ms	1,404	
			33039'	s	1,387				,	
34º15'	bms	1,365	34°21'	ms	1,362		34009'	S	1,369	
35°00'	S	1,340			-,		34°51′	SS	1,345	
36°33'	bms	1,291	36°27'	bm	1,294		36°18′	bs	1,298	
00 00	0	-,	00	•	-,		37036	ms	1,260	
38°06′	bms	1,246	38°06′	m	1,246		38000'	m	1,248 5	
30 00	Oms	1,210	30 00	***	1,210		38045'	S	1,228	
39°18′	s	1,214	39° 27'	ms	1,210		39º 18'	SS	1,214	
39 10	3	1,211	39 21	1113	1,210		39°42′	S	1,203	
39°54′	s	1,198	40°00'	ms	1,196		37 42	3	1,203	
J9 J7	3	1,190	40 00	1115	1,170		40°36′	bs	1,181	
40° 45′ y	og vaan	1 177	40°51′	ms	1,175		JU JU	υs	1,101	
40.40	(1,177	40°31 41°42′				41°33′	mst	1 150	
hi-		bis	41-42	m	1,155		41°33 42°42′		1,159	
bis	sb {	กเอ	120 57'	hana	1 100		44-44	st	1,133 ₅	
43°24′	l	1 110	42°57′	bms	1,128		440101		1 101	
45°24 /	•	1,119					44°18′	S	1,101	

α – Ca ₂ SiO ₄			β – Ca ₂ SiO ₄			γ – Ca ₂ SiO ₄		
ϑ	I	R	ϑ	I	R	ϑ	I	R
45°09′	sb	1,084	44°57′	bms	1,088	44°48′	m	1,091
10 07		,,,,,,,,,,,,,,,,,,,,,,,,,,,,,,,,,,,,,,,	46° 00′		1.060	45°3 6′	ms	1,076
46° 36′	s	1,058	46° 39′	SS SS	1,069 1,057	46°42′ 47°18′	ms ms	1,056 1,046
47°42′	m	1,039	47°33′	bs	1,041	48° 00′	SS	1,034
49015'	s	1,014	48° 36′	bs		48° 42′	ms	1,023
						49° 30′ 50° 15′ bis 51° 06′	m sb {	1,011 1,000 bis 0,988
51°21′	ms	0,984	51°30′	ms	0,982	51°57′	bs	0,976
52°24′	SS	0,970				53°06′)		0,961
53°30′	S	0,956	53º33′	ms	0,955 5	bis 54°06′	bmst {	bis 0,949
54º36'	S .	0,943	55°06′ 55°36′)	s	0,937 0,932	55°03′ 55°42′	s ms	0,938 0,930 ₅
56°00′	S	0,927	bis 56 ⁰ 54′	ms	bis	56°18′	m	0,924
58°00′	ms	0,906	58°00′	bs	0,918 0,906	57°00′	bs	0,9165
99º 12')	(0,895				58°4 5 ′	ms	0,899
bis 51°00'	bs {	bis 0,879				59° 45′	mst	0,889
30.00 C 100 SANOSSISS.	,		61°12′	ms	0,877	61°24′	mb	0,875 ₅
62° 12′	S	0,869	62°18′	bss	0,862	62°54′)	1 1	0,864
64° 12′	ms	0,859	64°24′	bs	0,852	64°15′) 65°24′	bms { s	0,853 0,845
			66°00′ 67°30′	bs s	0,841 0,832	65°51′ 67°24′	ms ms	0,842 0,833
				5		68°03′ 69°06′	ms m	0,829 0,823
			69° 18′ 71° 15′	m	0,822) ·		
				S	0,812	71°33′	st	0,810
			72°27′	S	0,806	73°39′	bm	0,801
			74°00′	m	0,800			,

Die Resultate der röntgenographischen Untersuchung sind in der Tabelle und Fig. 1 zusammengefasst; deren Ergebnis ist somit folgendes:

Die von Sundius optisch unterschiedenen Kristallarten der Zusammensetzung Ca₂SiO₄ besitzen verschiedene Röntgeninterferenzen, sind also auch im kristallstrukturellen Sinne als selbständige

Phasen anzusprechen. Dabei unterscheidet sich das Diagramm der γ -Modifikation wesentlich von jenem der β -Form, während diese letztere ein Interferenzensystem aufweist, das mit jenem der α -Modifikation grosse Ähnlichkeit hat. Während die Umwandlung $\gamma \rightleftharpoons \beta$ mit einem wesentlichen strukturellen Umbau verbunden scheint, dürfte der Übergang $\alpha \rightleftharpoons \beta$ sich mit geringeren strukturellen Änderungen vollziehen.

Der Nachweis von α - und β -Ca₂SiO₄ als Komponenten des Zementklinkers mittels einer röntgenographischen Gemischanalyse ist durch die folgenden Umstände erschwert:

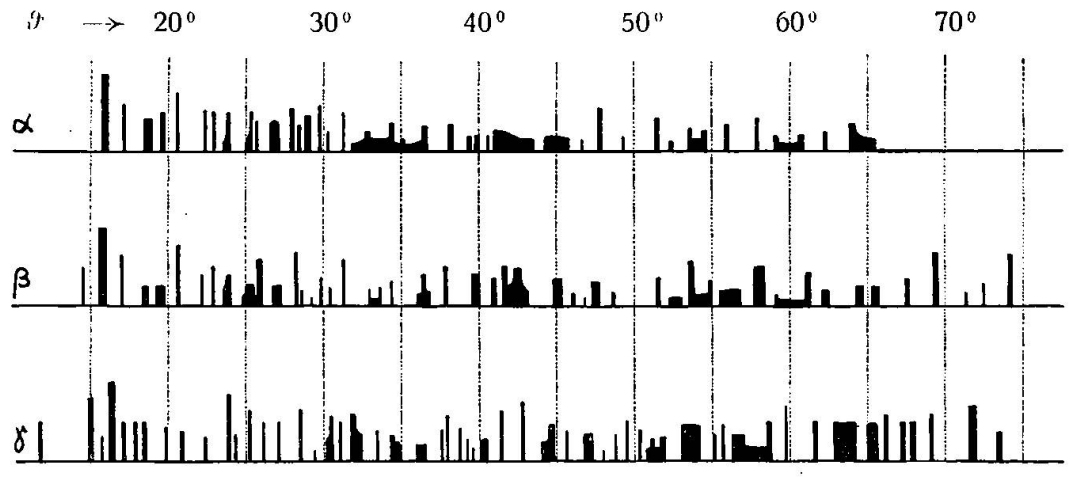


Fig. 1. Schema der Röntgeninterferenzen der Ca₂SiO₄-Modifikationen

- a) Beide Modifikationen besitzen ein relativ geringes Interferenzvermögen verglichen mit demjenigen der übrigen Klinkermineralien. In den vorliegenden Proben war besonders die α -Modifikation durch ein auffallend mässiges Interferenzvermögen 2) ausgezeichnet. Daraus folgt, dass auch bei beträchtlichen Konzentrationen an α oder β -Disilikat das entsprechende Interferenzensystem nur mit geringer Intensität auftreten wird.
- b) Die intensivsten Interferenzen der beiden Modifikationen fallen teilweise fast genau oder doch sehr angenähert mit ebenfalls intensiven Interferenzen der in normalen Portland-Zementen vorherrschenden Komponente $3 \, \text{CaO} \cdot \text{SiO}_2$ zusammen. Daraus folgt, dass die röntgenographische Nachweisbarkeitsgrenze 2) für α und β -Ca₂SiO₄ in Gemischen mit überwiegendem Ca₃SiO₅ relativ hoch ausfallen muss, ein röntgenographischer Nachweis des Disilikats also an beträchtliche Konzentrationen an solchem gebunden ist. Die röntgenographische Unterscheidung der α und β -Modifikation ist mög-

²⁾ E. Brandenberger, Schweiz. Min. Petr. Mitt. 13, 91. 1933.

lich, wenn selbständige Disilikatinterferenzen neben Trisilikatlinien gefunden werden, indem die Linien mittlerer Intensität, welche nicht mit Trisilikatinterferenzen koinzidieren, für die beiden Modifikationen kennzeichnende Unterschiede aufweisen.

Mineralogisches Institut der E. T. H. und Eidg. Materialprüfungsanstalt, Zürich.

Eingegangen: 28. Juli 1934.